

ДИФФЕРЕНЦИАЛЬНЫЕ УРАВНЕНИЯ

И

ПРОЦЕССЫ УПРАВЛЕНИЯ

N. 3, 2021

Электронный журнал,

рег. Эл. N ФС77-39410 от 15.04.2010

ISSN 1817-2172

<http://diffjournal.spbu.ru/>

e-mail: jodiff@mail.ru

## Прикладные задачи

### Математическая модель и численная схема расчёта электрических полей в гальванических ваннах с плоским токонепроводящим экраном

И. Ю. Пчелинцева, Ю. В. Литовка

Тамбовский государственный технический университет,

e-mail: irina\_yu\_10@mail.ru, polychem@list.ru

**Аннотация.** Рассматривается математическая модель электрического поля в гальванической ванне с плоскими анодом и катодом, имеющей бесконечно тонкую плоскую перегородку–изолятор с поперечными отверстиями. Такой токонепроводящий экран необходим для более равномерного покрытия детали катода. В работе делается переход к разностному аналогу рассматриваемой задачи. Описан эффективный численный метод, основанный на методе Ньютона решения нелинейных алгебраических уравнений, проведен вычислительный эксперимент для 4-х поперечных отверстий. Полученные результаты показывают эффективность применяемого численного метода.

**Ключевые слова:** уравнение Лапласа, метод Ньютона, критерий неравномерности, толщина покрытия.

## 1 Введение

Электролитические процессы нанесения металлопокрытий применяются для защиты изделий от коррозии, декоративной отделки поверхности и других целей. Гальваническое покрытие имеет важную количественную характеристику – толщину покрытия. Поскольку электрическое поле в электролите неоднородно, толщина покрытия в разных точках поверхности покрываемой

детали разная. Важной задачей является нанесение более равномерного покрытия. Заметим, что изоляционные стенки с отверстиями в гальванических ваннах применяются для того, чтобы добиться более равномерного нанесения гальванического покрытия на поверхность детали.

Чтобы решить задачу вычисления толщины покрытия на детали-катоде, необходимо рассчитать распределение потенциалов в гальванической ванне из уравнения Лапласа.

Одним из наилучших является метод, согласно которому пространство гальванической ванны разбивается сеткой, и производные функции распределения потенциала электролита в объеме ванны заменяются их разностными аналогами. Полученная система нелинейных алгебраических уравнений решается методом простых итераций с использованием метода верхней релаксации с прогонкой по строке [1, 2] по анодным и катодным плотностям тока. Однако у такой итеративной процедуры есть недостаток – медленная сходимость к приближённому решению. В то же время, при решении задачи нанесения более равномерного покрытия из-за её высокой размерности уравнение Лапласа приходится решать тысячи раз. Если задать высокую точность, то такую задачу нельзя решить за приемлемое время. В связи с этим задача повышения скорости вычислений при решении уравнения Лапласа является актуальной.

Анализ итерационных методов показал, что вместо простых итераций целесообразно применить метод Ньютона, который, как известно [3], обладает квадратичной скоростью сходимости.

Цель данной работы – разработка математической модели процесса получения покрытия с бесконечно тонкой изоляционной стенкой и численного метода решения её уравнений, обеспечивающего более высокую скорость решения поставленной задачи по сравнению с известными методами. Особенностью подхода, предлагаемого в работе, является то, что он позволяет построить динамически разностную схему по исходным данным для математического пакета Maxima в виде нелинейной системы алгебраических уравнений.

## 2 Математическая модель процесса

Построим математическую модель процесса нанесения покрытия на плоскую деталь в гальванической ванне с бесконечно тонкой плоской перегородкой-



Рис. 1: Горизонтальное сечение гальванической ванны.

изолятором, в которой имеются поперечные отверстия прямоугольной формы. Предполагается, что ванна имеет форму параллелепипеда. Анод и катод являются плоскими и располагаются напротив друг друга вдоль соответствующих стен. Тогда мы имеем ванну, когда в горизонтальном сечении, перпендикулярном оси  $Oz$ , не меняется конфигурация электрического поля внутри ванны, т.е. для любого такого сечения мы имеем картину, представленную на рис. 1. Размер ванны  $l \times l$ .

Поперечный вид плоской перегородки-изолятора представлен на рис. 2.



Рис. 2: Поперечный вид плоской перегородки-изолятора.

Конфигурация поперечных отверстий прямоугольной формы соответствует их расположению в продольном сечении ванны на рис. 1. Высота токонепроводящего экрана равна высоте гальванической ванны, а длина равна  $l$ .

Предположим, что к аноду подведено напряжение  $U_a$ , к катоду 0 В. Стени ванны являются изолирующими, т.е. градиент потенциала по нормали к их поверхности равен нулю.

Обозначим через  $\varphi(x, y)$  потенциал электрического поля в точке с координатами  $(x, y)$ . Запишем уравнение Лапласа, описывающее распределение потенциала в электролите гальванической ванны [4]:

$$\frac{\partial^2 \varphi}{\partial x^2} + \frac{\partial^2 \varphi}{\partial y^2} = 0. \quad (1)$$

Далее опишем граничные условия для рис. 1. Для границы с изоляторами–стенками они имеют вид:

$$\left. \frac{\partial \varphi}{\partial x} \right|_{(0;y)} = 0, \quad y \in (0; l), \quad \left. \frac{\partial \varphi}{\partial x} \right|_{(l;y)} = 0, \quad y \in (0; l), \quad (2)$$

$$\left. \frac{\partial \varphi}{\partial y} \right|_{(x;0)} = 0, \quad x \in [0; x_{al}), \quad \left. \frac{\partial \varphi}{\partial y} \right|_{(x;l)} = 0, \quad x \in (x_{ar}; l], \quad (3)$$

$$\left. \frac{\partial \varphi}{\partial y} \right|_{(x;l)} = 0, \quad x \in [0; x_{cl}), \quad \left. \frac{\partial \varphi}{\partial y} \right|_{(x;l)} = 0, \quad x \in (x_{cr}; l], \quad (4)$$

где  $x_{al}$ ,  $x_{ar}$ ,  $x_{cl}$  и  $x_{cr}$  – координаты расположения краёв анода и катода соответственно. Например, для рис. 1  $x_{al} = 0,6$  дм,  $x_{ar} = 2,1$  дм,  $x_{cl} = 0,3$  дм,  $x_{cr} = 2,4$  дм при  $l = 2,7$  дм.

Потенциалы поля на аноде и катоде связаны соотношениями

$$\varphi(x, 0) + F_a(i_a(x)) = U_a, \quad x \in [x_{al}; x_{ar}], \quad (5)$$

$$\varphi(x, l) + F_c(i_c(x)) = 0, \quad x \in [x_{cl}; x_{cr}], \quad (6)$$

где  $F_a(i_a)$  и  $F_c(i_c)$  – так называемые функции анодной и катодной поляризации [5, 6],  $i_a$ ,  $i_c$  – соответственно, анодная и катодная плотности тока.

Для плоской бесконечно тонкой перегородки–изолятора с поперечными отверстиями граничные условия аналогичны условиям для изоляторов–стенок:

$$\frac{\partial \varphi}{\partial y} \Big|_{(x;p)} = 0, \quad x \in \left[ x_{pl}^{(k)}; x_{pr}^{(k)} \right], \quad k = \overline{1, n}, \quad (7)$$

где  $p$  –  $y$ -координата перегородки–изолятора,  $x_{pl}^{(k)}$ ,  $x_{pr}^{(k)}$  – координаты расположения краёв  $k$ -ого отверстия,  $n$  – количество отверстий.

Поскольку ток течёт от большего потенциала к меньшему (положительное направление тока вдоль оси  $y$ ), закон Ома в дифференциальной форме на аноде и катоде запишется как

$$i_0 = -\chi \frac{\partial \varphi}{\partial y} \Big|_{(x;0)}, \quad x \in [x_{al}; x_{ar}], \quad i_c = -\chi \frac{\partial \varphi}{\partial y} \Big|_{(x;l)}, \quad x \in [x_{cl}; x_{cr}], \quad (8)$$

где  $\chi$  – удельная проводимость электролита.

Таким образом, мы построили математическую модель (1) – (8) распределения потенциала внутри гальванической ванны.

Толщина получаемого на катоде покрытия определяется из формулы

$$\delta(x) = \frac{K}{\rho} i_c(x) \Delta t,$$

где  $x \in [x_{cl}; x_{cr}]$ ,  $K$  – электрохимический эквивалент металла покрытия,  $\rho$  – плотность металла покрытия,  $\Delta t$  – время нанесения покрытия.

### 3 Описание численного метода

Для численного решения нелинейной задачи (1) – (8) заменим производные их разностными аналогами. Введём сетку по координатам  $x$  и  $y$ :

$$\begin{aligned} x_i &= (i - 1)h_x, \\ y_j &= (j - 1)h_y, \\ i &= \overline{1, N_x}, \quad j = \overline{1, N_y}, \end{aligned}$$

где  $h_x$  и  $h_y$  – шаги сетки по  $x$  и  $y$  соответственно,  $N_x$  и  $N_y$  – количество узлов.

Производным, входящим в задачу (1) – (8), сопоставим соотношения:

$$\left\{ \begin{array}{l} \frac{\varphi_{i-1,j} - 2\varphi_{i,j} + \varphi_{i+1,j}}{h_x^2} + \frac{\varphi_{i,j-1} - 2\varphi_{i,j} + \varphi_{i,j+1}}{h_y^2} = 0, \\ i = \overline{2, N_x - 1} \& j = \overline{2, N_p - 1, N_p + 1, N_y - 1}, \\ i = p_l^{(k)}, p_r^{(k)} \& j = N_p \& k = \overline{1, n}; \\ \frac{\varphi_{2,j} - \varphi_{1,j}}{h_x} = 0, \quad j = \overline{2, N_p - 1, N_p + 1, N_y - 1}; \\ \frac{\varphi_{N_x,j} - \varphi_{N_x-1,j}}{h_x} = 0, \quad j = \overline{2, N_p - 1, N_p + 1, N_y - 1}; \\ \frac{\varphi_{i,2} - \varphi_{i,1}}{h_y} = 0, \quad i = \overline{1, a_l - 1, a_r + 1, N_x}; \\ \frac{\varphi_{i,N_y} - \varphi_{i,N_y-1}}{h_y} = 0, \quad i = \overline{1, c_l - 1, c_r + 1, N_x}; \\ \frac{\varphi_{i,N_p} - \varphi_{i,N_p-1}}{h_y} = 0, \quad i = \overline{1, p_l^{(k)} - 1, p_r^{(k)} + 1, N_x} \& k = \overline{1, n}; \\ \varphi_{i,1} + F_a \left( -\chi \frac{\varphi_{i,2} - \varphi_{i,1}}{h_y} \right) - U_a = 0, \quad i = \overline{a_l, a_r}; \\ \varphi_{i,N_y} + F_c \left( -\chi \frac{\varphi_{i,N_y} - \varphi_{i,N_y-1}}{h_y} \right) = 0, \quad i = \overline{c_l, c_r}, \end{array} \right.$$

где  $a_l, a_r, c_l, c_r$  – номера узлов сетки, соответствующих левому и правому краю анода и катода,  $p_l^{(k)}, p_r^{(k)}$  – номера узлов сетки, соответствующих краям отверстий перегородки–изолятора,  $n = 4$ . Например, для рис. 1  $a_l = 7$ ,  $a_r = 22$ ,  $c_l = 4$ ,  $c_r = 25$ ,  $p_l^{(1)} = 4$ ,  $p_r^{(1)} = 8$ ,  $p_l^{(2)} = 11$ ,  $p_r^{(2)} = 14$ ,  $p_l^{(3)} = 18$ ,  $p_r^{(3)} = 20$ ,  $p_l^{(4)} = 22$ ,  $p_r^{(4)} = 26$ ,  $N_p = 25$ .

Заметим, что количество уравнений и неизвестных в системе равно  $m = N_x \cdot N_y$ .

Соберём неизвестные величины

$$\varphi_{1,1}, \varphi_{1,2}, \dots, \varphi_{1,N_y}, \varphi_{2,1}, \varphi_{2,2}, \dots, \varphi_{2,N_y}, \dots, \varphi_{N_x,1}, \varphi_{N_x,2}, \dots, \varphi_{N_x,N_y}$$

в вектор и обозначим его как

$$\Psi = [\psi_1, \psi_2, \dots, \psi_m]^T.$$

Левая часть полученной системы является вектор-функцией  $\Lambda$  от  $\Psi$ .

Таким образом, мы перепишем систему как

$$\Lambda(\Psi) = 0. \quad (9)$$

Для численного решения нелинейной системы (9) предлагается использовать метод Ньютона. Обозначим через  $\Psi^{(0)}$  вектор начального приближения. Выбор значений его компонентов, т.е.  $\varphi_{i,j}^{(0)}$ , осуществляется следующим образом.

Поскольку в направлении от анода к катоду потенциал убывает, примем:

$$\varphi_{i,1}^{(0)} = U_a, \varphi_{i,N_y}^{(0)} = 0, i = \overline{1, N_x}.$$

В промежуточных узлах сетки сделаем линейную интерполяцию, т.е.

$$\varphi_{i,j}^{(0)} = U_a \frac{N_y - j}{N_y - 1}. \quad (10)$$

Как известно (см., например, [3]), численная схема метода Ньютона имеет вид:

$$\Psi^{(r)} = \Psi^{(r-1)} - \left[ \nabla \Lambda \left( \Psi^{(r-1)} \right) \right]^{-1} \Lambda \left( \Psi^{(r-1)} \right), \quad (11)$$

где  $r = 1, 2, 3, \dots$  – номер итерации,  $\nabla \Lambda \left( \Psi^{(r-1)} \right)$  – матрица Якоби функции  $\Lambda$  в точке  $\Psi^{(r-1)}$ .

На сегодняшний день матрица Якоби в соотношении (11) при реализации метода Ньютона в математических пакетах не обращается, т.к. это требует существенных вычислительных затрат. Для нахождения значения приближения  $\Psi^{(r)}$  на текущей итерации выражение (11) можно привести к системе линейных уравнений вида

$$\nabla \Lambda \left( \Psi^{(r-1)} \right) \Psi^{(r)} = \nabla \Lambda \left( \Psi^{(r-1)} \right) \Psi^{(r-1)} - \Lambda \left( \Psi^{(r-1)} \right),$$

для решения которой используется наиболее эффективный метод – LU-разложение (например, в [7] для решения задач теории упругости).

## 4 Пример расчёта

Проиллюстрируем разработанный алгоритм на примере расчёта процесса нанесения никелевого гальванического покрытия на плоскую пластину для электролита, содержащего  $\text{NiSO}_4$  (2 моль/л) и  $\text{H}_3\text{BO}_3$  (0,5 моль/л) при температуре 25 °C.

Для вычислительного эксперимента было выбрано положение и конфигурация токонепроводящего экрана, показанного на рис. 1 и 2.

Чтобы рассчитать распределение толщины получаемого на катоде покрытия в мкм, используем соотношение

$$\begin{aligned} q(x, \Delta t) &= \theta(x) \cdot \Delta t = 100 \frac{K}{\rho} i_c(x) \Delta t = -100 \frac{K \chi}{\rho} \left. \frac{\partial \varphi}{\partial y} \right|_{(x;l)} \Delta t \approx \\ &\approx 100 \frac{K \chi}{\rho} \frac{\varphi_{i,N_y-1} - \varphi_{i,N_y}}{h_y} \Delta t, \end{aligned}$$

где  $x \in [x_{cl}; x_{cr}]$ ,  $i = \overline{c_l, c_r}$ ;  $K$  – электрохимический эквивалент никеля, г/(A·ч);  $\rho$  – плотность никеля, г/см<sup>3</sup>,  $\Delta t$  – время нанесения покрытия, ч. В нашем случае  $K = 1,09$  г/(A·ч),  $\rho = 8,902$  г/см<sup>3</sup>,  $\chi = 0,515$  (Ом·дм)<sup>-1</sup> [5]. Далее положим, что время  $\Delta t = \Delta t_{\text{calc}} = 0,5$  ч.

Введём обозначение

$$\delta(x) = q(x, \Delta t_{\text{calc}}).$$

Заметим, что для раствора электролита поляризационные кривые приводятся в литературе в виде графиков, например, в работе [5, с. 275, 289].

В дальнейших расчётах целесообразным является построение аппроксимирующих зависимостей  $F_a(i_a)$  и  $F_c(i_c)$  методом наименьших квадратов.

Анализ графиков из [5] показал, что наилучшим является квадратичный вид аппроксимирующей зависимости.

Полученное нами аналитическое выражение для анодной поляризации:

$$F_a(i_a) = -4,267i_a^2 + 5,867i_a$$

для  $i_a \in [0; 1,5]$ , А/дм<sup>2</sup>; для катодной поляризации:

$$F_c(i_c) = 0,883i_c^2 - 2,242i_c \quad (12)$$

для  $i_c \in [0; 3]$ , А/дм<sup>2</sup>.

Отрицательное значение изменения  $F_c(i_c)$  потенциала катоде (в вольтах) уже учтено в функции (12) на приведённом отрезке изменения плотности тока  $i_c$ .

## 5 Результаты вычислений

Для отыскания приближённого решения системы (9) мы использовали реализацию метода Ньютона в математическом пакете Maxima [8] с точностью  $\varepsilon = 10^{-2}$ . Под точностью вычислений мы понимаем модуль разности векторов  $\Psi^{(r)}$  и  $\Psi^{(r-1)}$  на соседних итерациях, т.е. когда выполнено условие

$$\left| \Psi^{(r)} - \Psi^{(r-1)} \right| < \varepsilon,$$

вычисления завершаются. Для автоматизации формирования скрипта для математического пакета с системой (9) из большого числа уравнений разработана модификация программы [9] на языке C++ с учётом наличия в ванне изолятора–стенки.

Для взаимодействия с пакетом авторы использовали перенаправление ввода/вывода с вызовом команды `maxima` под Linux. Каждая команда записывается в отдельной строке входного файла. Перед вызовом в пакете реализации метода Ньютона нужно выполнить команду `display2d:false$`, чтобы результаты вычислений выводить в виде строк. В самой команде `mnewton()` определить левые части уравнений системы (9) в символьном виде, вектор  $\Psi$  неизвестных, а также начальное приближение, сформированное правилу (10). После того, как пакет произведёт вычисления, результат считывается из выходного текстового файла.

На рис. 3 приведены результаты вычислительного эксперимента для  $U_a = 3$  В,  $l = 2,7$  дм,  $N_x = N_y = 28$  и  $h_x = h_y = 0,1$  дм. При этом для наглядности точки сетки соединены кубическим сплайном.

С учётом того, что мы работаем с плоским сечением гальванической ванны, для оценки равномерности полученного покрытия используем выражение

$$R = \frac{1}{L} \int_{x_{cl}}^{x_{cr}} \frac{\delta(x) - \delta_{\min}}{\delta_{\min}} dx, \quad (13)$$

где  $L$  – длина катода в продольном сечении (рис. 1),

$$\delta_{\min} = \min_{x \in [x_{cl}; x_{cr}]} \delta(x).$$

Так как мы работаем с дискретным аналогом функции  $\delta(x)$ , заменим

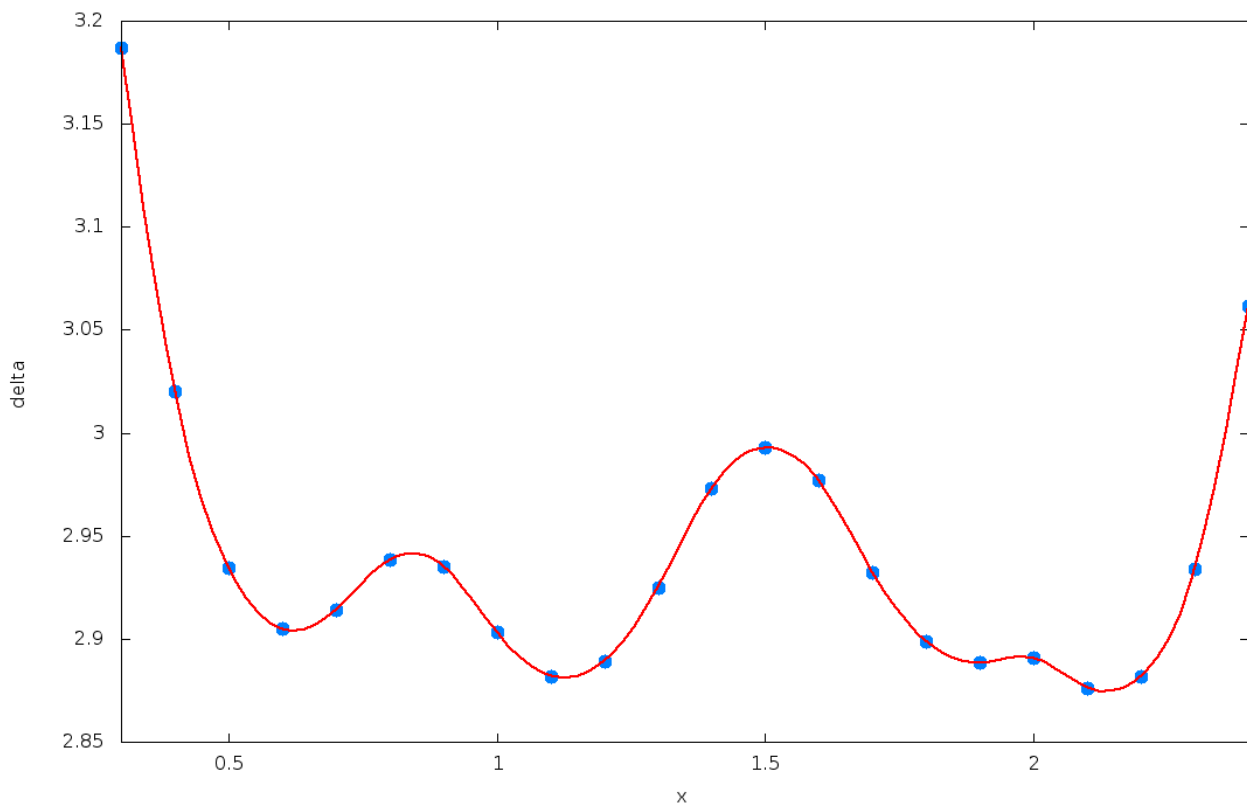


Рис. 3: Распределение покрытия по поверхности катода, размерность по оси  $x$  – дм, по оси  $\delta$  – мкм.

интеграл в формуле (13) суммой вида

$$\begin{aligned}
 R &= \frac{1}{\delta_{\min} L} \sum_{i=c_l}^{c_r} (\delta(x_i) - \delta_{\min}) h_x = \\
 &= \frac{1}{\delta_{\min} (c_r - c_l) h_x} \sum_{i=c_l}^{c_r} (\delta(x_i) - \delta_{\min}) h_x = \frac{\sum_{i=c_l}^{c_r} (\delta(x_i) - \delta_{\min})}{\delta_{\min} (c_r - c_l)}.
 \end{aligned}$$

Для рис. 3 значение  $R$  составило 0,024 или 2,4%, что считается удовлетворительным.

Заметим, что для проведения вычислений время  $\Delta t = \Delta t_{\text{calc}}$  было выбрано условно, чтобы проверить адекватность модели и вычислить значение показателя  $R$ . На практике требуется подобрать такое время нанесения покрытия  $\Delta t = \Delta t_{\text{proc}}$ , чтобы обеспечить заданное среднее значение  $\delta_{\text{set}}$  толщины получаемого покрытия. Получим расчётную формулу для этого времени.

Среднее значение функции

$$\bar{\delta} = \frac{1}{L} \int_{x_{cl}}^{x_{cr}} \delta(x) dx \approx \frac{1}{(c_r - c_l) h_x} \sum_{i=c_l}^{c_r} \delta(x_i) h_x = \frac{\sum_{i=c_l}^{c_r} \delta(x_i)}{c_r - c_l}.$$

По полученным значениям  $\delta(x_i)$  определяем среднее значение  $\bar{\delta}$  толщины рассчитываемого покрытия. Далее отметим, что

$$\begin{aligned}\bar{\delta} &= \bar{\theta} \cdot \Delta t_{\text{calc}}, \\ \delta_{\text{set}} &= \bar{\theta} \cdot \Delta t_{\text{proc}},\end{aligned}$$

где  $\bar{\theta}$  – среднее значение функции  $\theta(x)$  на отрезке  $[x_{cl}; x_{cr}]$ , откуда

$$\Delta t_{\text{proc}} = \frac{\delta_{\text{set}}}{\bar{\delta}} \Delta t_{\text{calc}}.$$

## 6 Заключение

Полученные результаты показывают эффективность применяемого численного метода – квадратичная скорость сходимости метода Ньютона на сетках с большим количеством узлов даёт выигрыш во времени примерно в 10 раз по сравнению с одним из лучших численных методов для такого вида задач – итерационного метода, описанного в работах [1, 2]. При этом был использован численный метод Ньютона с реализацией в математическом пакете Maxima для решения системы нелинейных алгебраических уравнений, получаемых как разностный аналог задачи распределения потенциала в гальванической ванне. Данная задача включает в себя уравнение Лапласа и нелинейные краевые условия III-его рода на аноде и катоде.

Разработанные модель и эффективный метод решения её уравнений могут быть использованы для решения задачи оптимизации – минимизации критерия (13) неравномерности покрытия.

## Список литературы

- [1] Дутов А. В., Литовка Ю. В., Нестеров В. А., Соловьев Д. С., Соловьева И. А., Сипало К. И. Поиск оптимального управления токовыми

режимами в гальванических процессах со многими анодами при разнообразии номенклатуры обрабатываемых изделий // Известия Российской академии наук. Теория и системы управления, 2019, №1. С. 78–88.

- [2] Литовка Ю. В., Михеев В. В. Численный расчет электрического поля в гальванической ванне с биполярными электродами // Теоретические основы химической технологии, 2006, том 40, №3. С. 328–334.
- [3] Демидович Б. П., Марон И. А. Основы вычислительной математики. – СПб.: Лань, 2006. – 672 с.
- [4] Pchelintseva I. Yu., Pchelintsev A. N., Litovka Yu. V. Modeling of metal distribution when coating flat metal plates in electroplating baths // International Journal of Numerical Modelling: Electronic Networks, Devices and Fields, 2021, vol. 34, iss. 2, e2830, 10 pp.
- [5] Кудрявцев Н. Т. Электролитические покрытия металлами. – М.: Химия, 1979. – 352 с.
- [6] Жук Н. П. Курс теории коррозии и защиты металлов. – М.: Альянс, 2014. – 472 с.
- [7] Толмачев А. В., Коновалов А. В., Паргин А. С. Эффективность алгоритма LU-разложения с двухмерным циклическим распределением матрицы для параллельного решения упругопластической задачи // Программные продукты и системы, 2013, №3. С. 94–99.
- [8] Maxima computer algebra system, <http://maxima.sourceforge.net/ru/>
- [9] Пчелинцева И. Ю., Пчелинцев А. Н., Литовка Ю. В. Свидетельство о государственной регистрации программы для ЭВМ №2020614929. Численное решение уравнения Лапласа для расчёта распределения электрического потенциала в гальванической ванне на базе математического пакета Maxima. – 29.04.2020 г.

## **Mathematical model and numerical scheme for calculation of electric fields in galvanic baths with non-conductive screen**

I. Yu. Pchelintseva, Yu. V. Litovka

Tambov State Technical University,

e-mail: irina\_yu\_10@mail.ru, polychem@list.ru

**Abstract.** A mathematical model of the electric field in a electroplating bath with a flat anode and cathode, which has an infinitely thin flat insulator wall with transverse slots, is considered. Such a non-conductive screen is necessary for a more uniform coverage of the cathode detail. In this article, a transition is made to the difference analogue of the problem. A numerical method based on Newton's method for solving nonlinear algebraic equations is described, a computational experiment for 4 slits is carried out. The obtained results show the effectiveness of the applied numerical method.

**Keywords:** Laplace's equation, Newton's method, non-uniformity criterion, coating thickness.